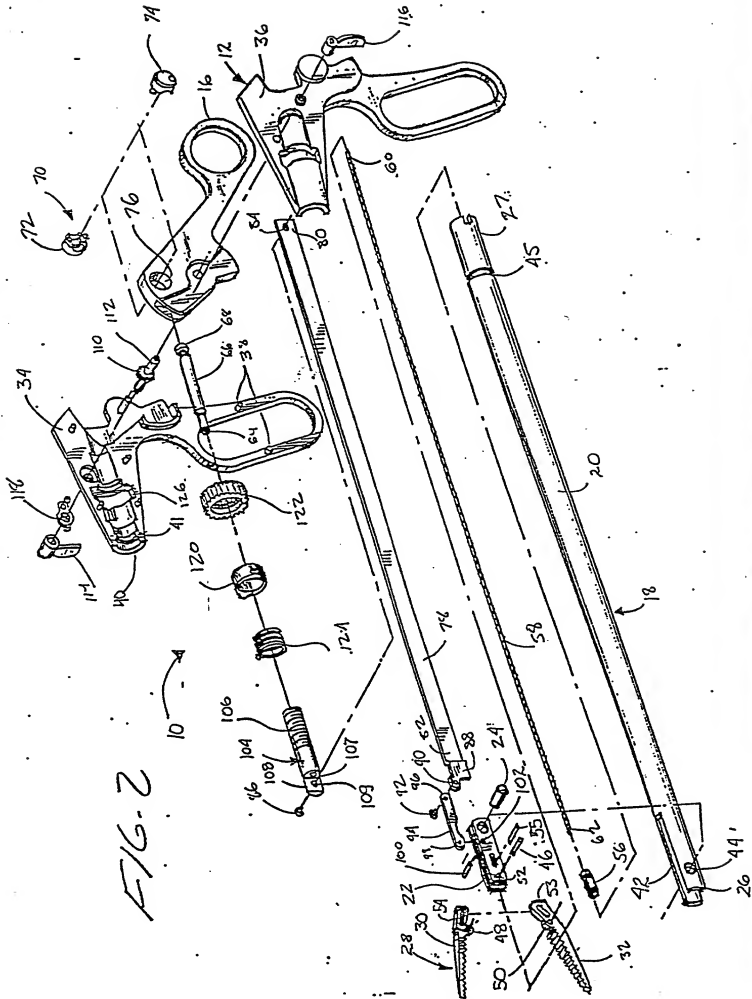
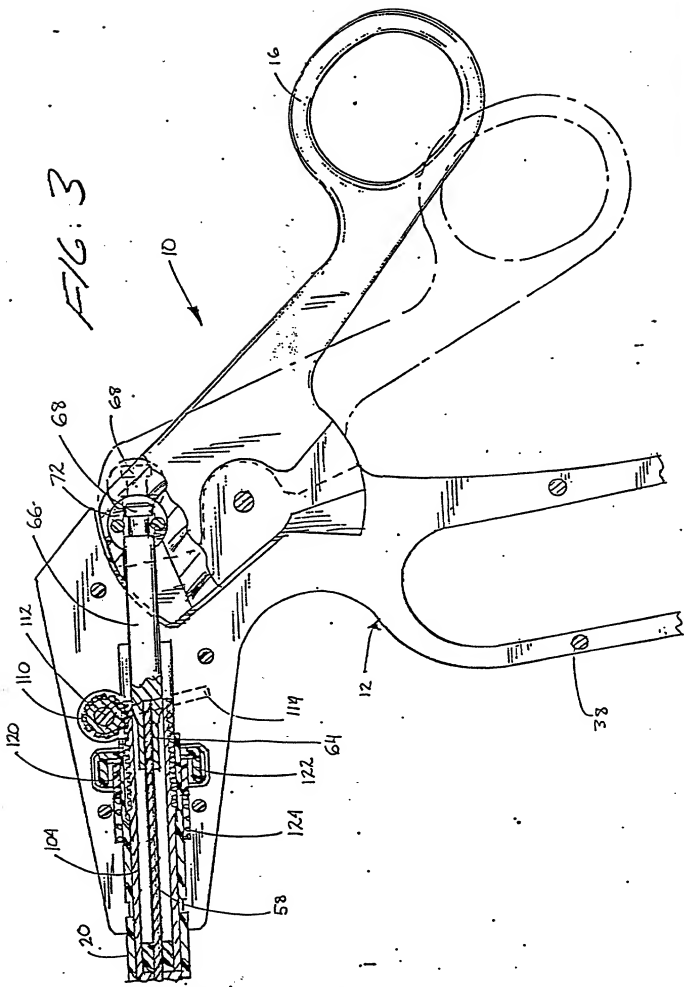
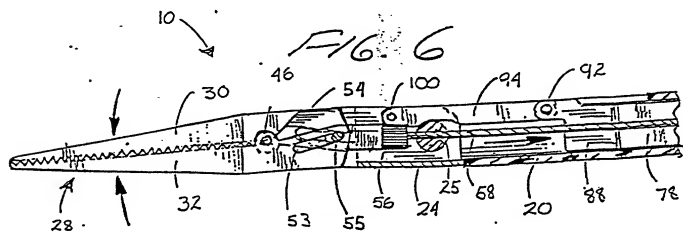
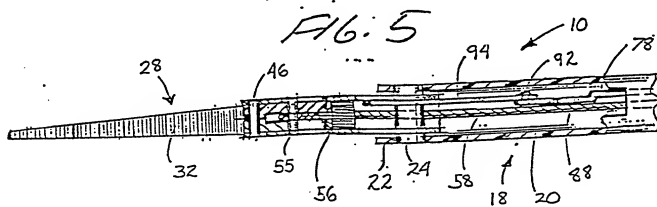
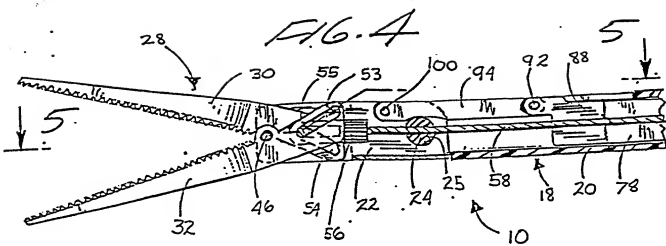


100379273







1000776767

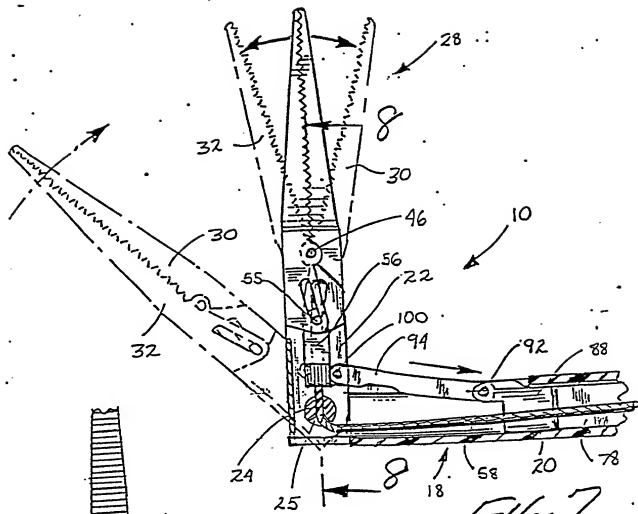


FIG. 7

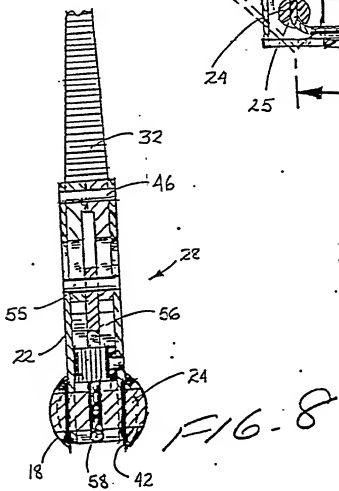


FIG. 8

19600114267200

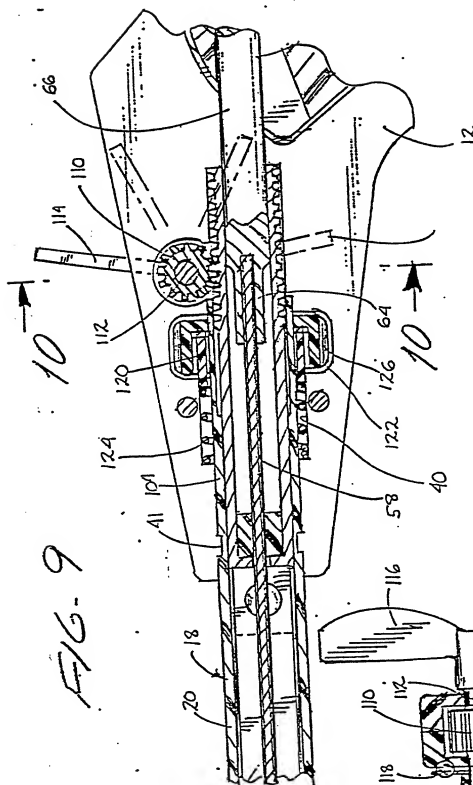
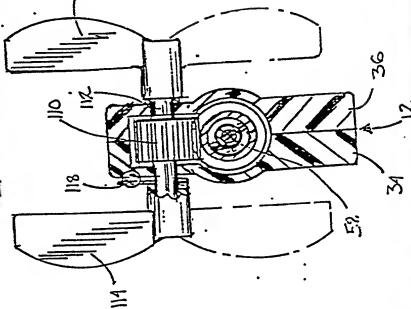


FIG. 10



7060TT "46ZED0T

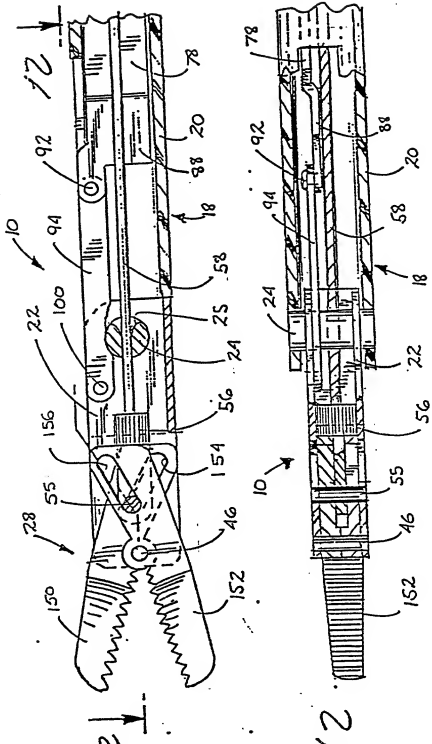


Fig. 16-12

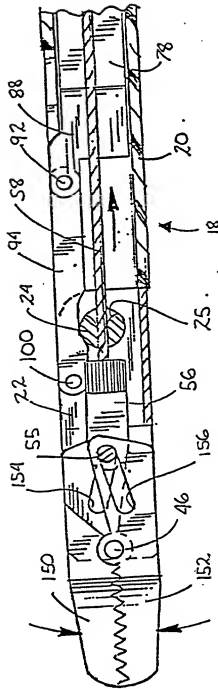
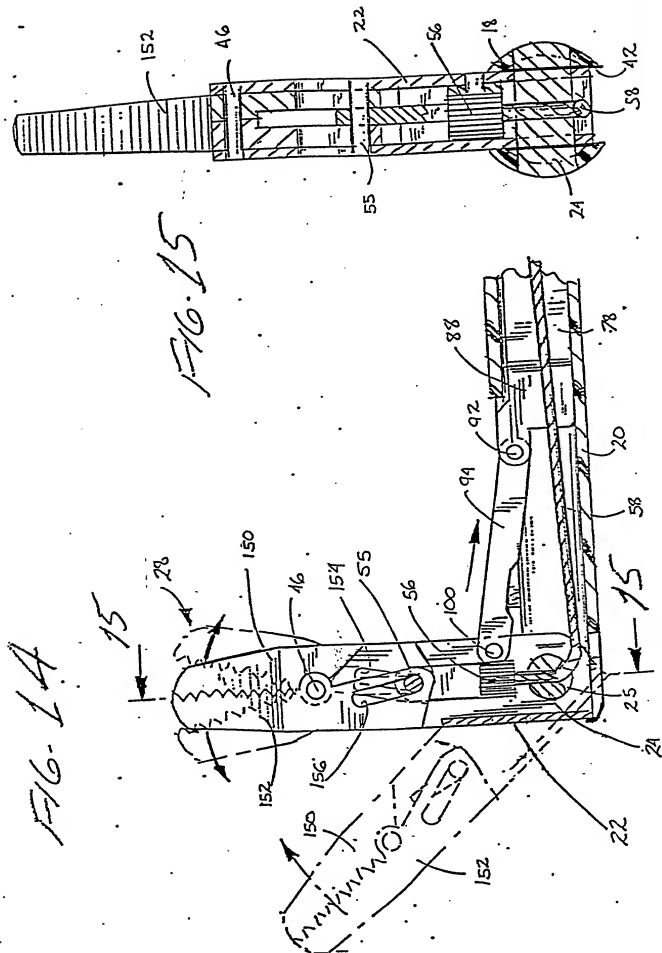


Fig. 16-13

1060 T. ZHENG ET AL.



TO UNIT 226200

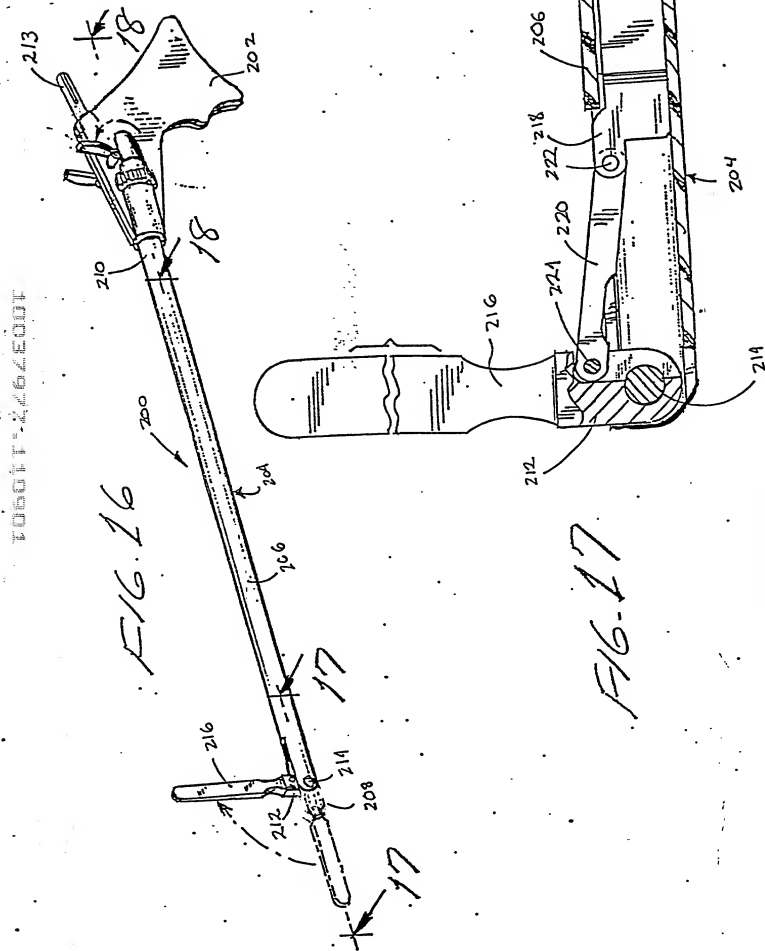


FIG. 18

216 226 244 236 001

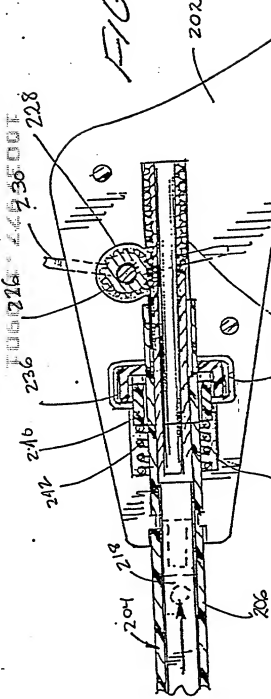
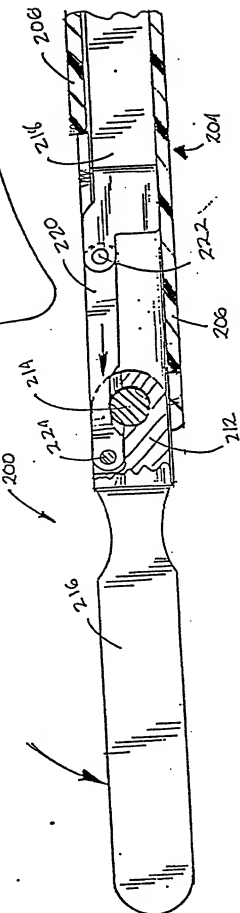
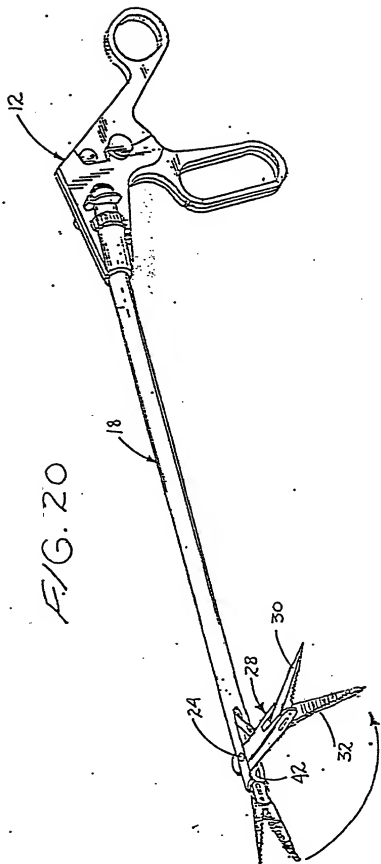


FIG. 19

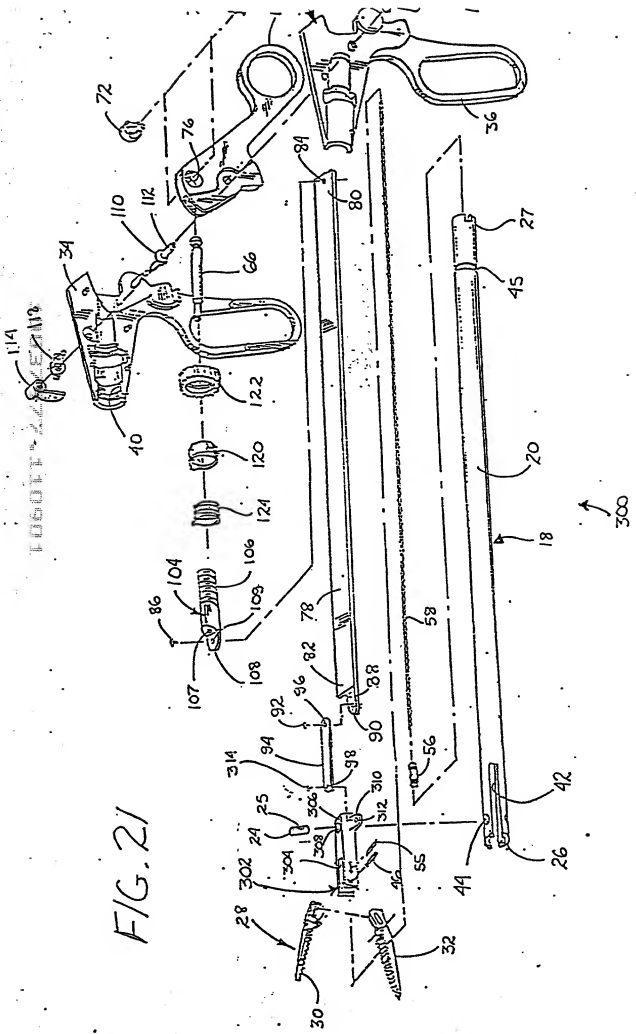


YOUNG & EDDY

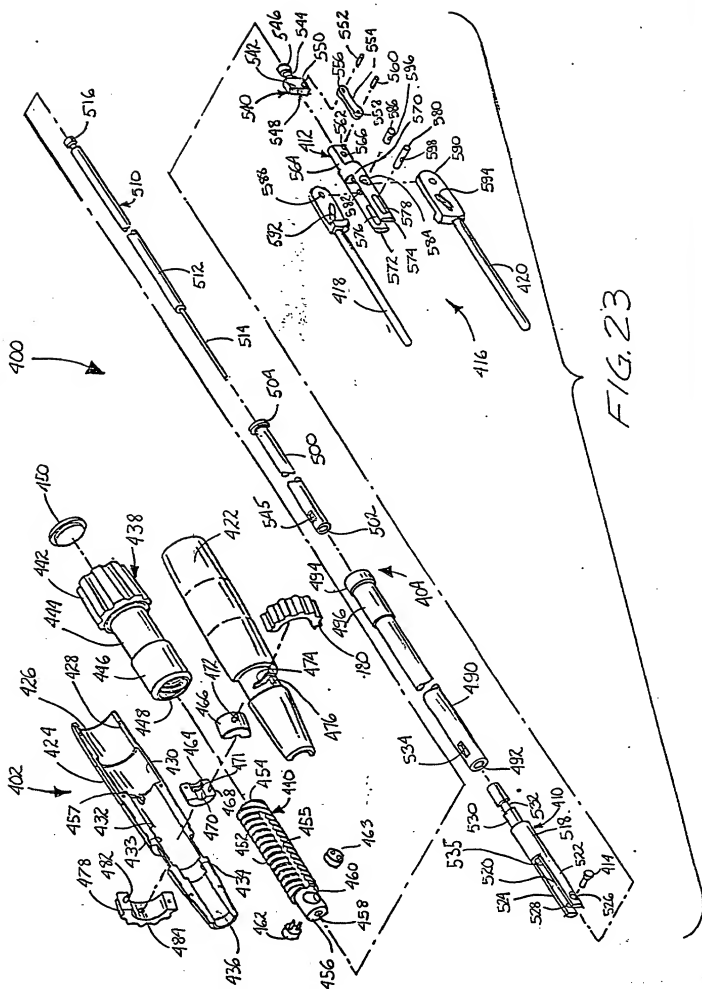
FIG. 20



F/G. 21



13032921



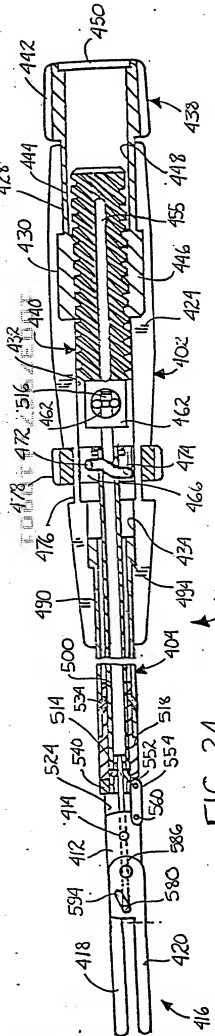


FIG. 24

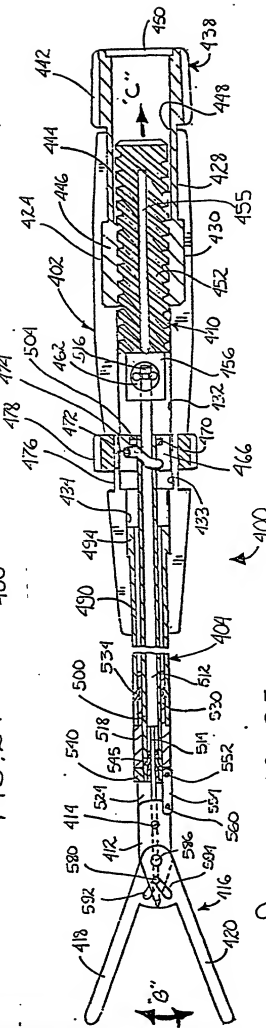


FIG. 25

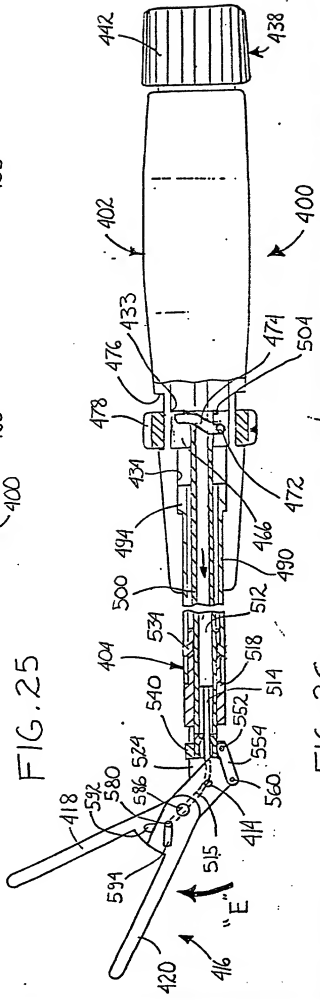


FIG. 26

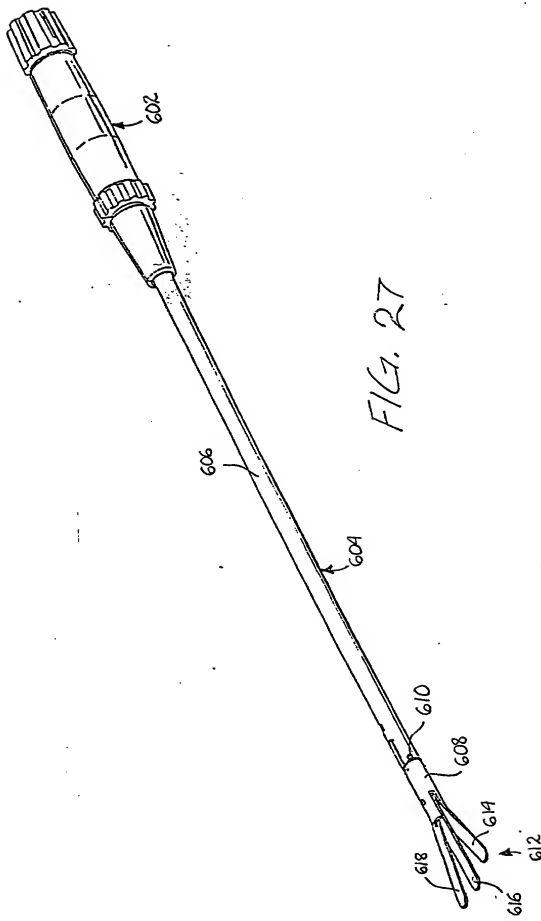
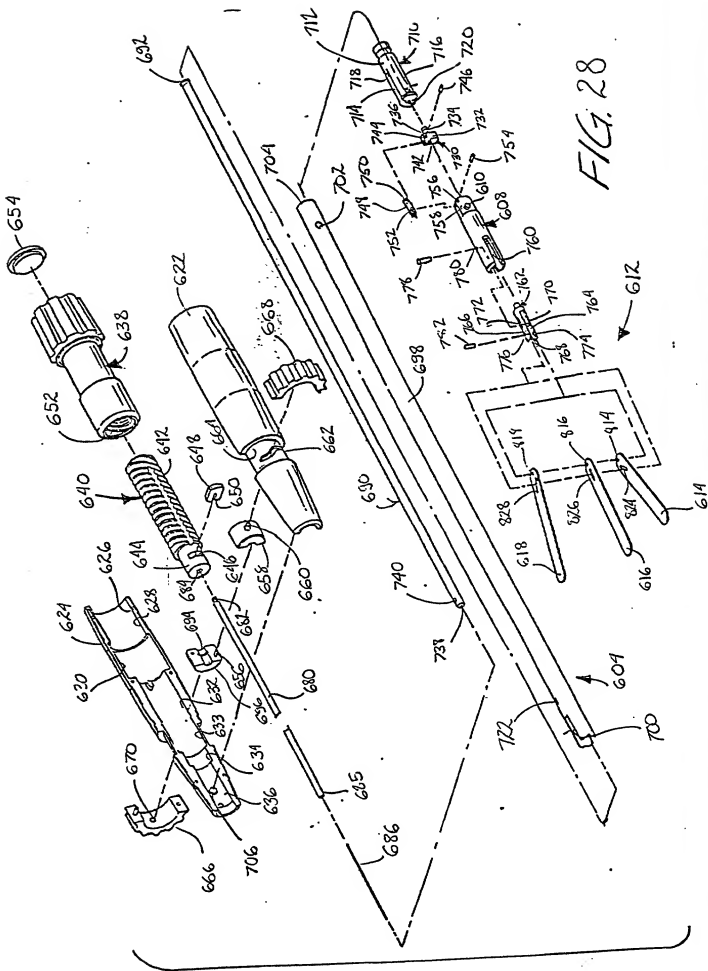


FIG. 27



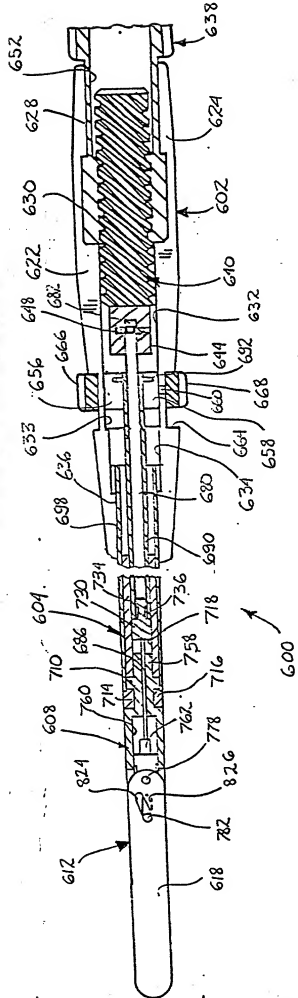


FIG. 29

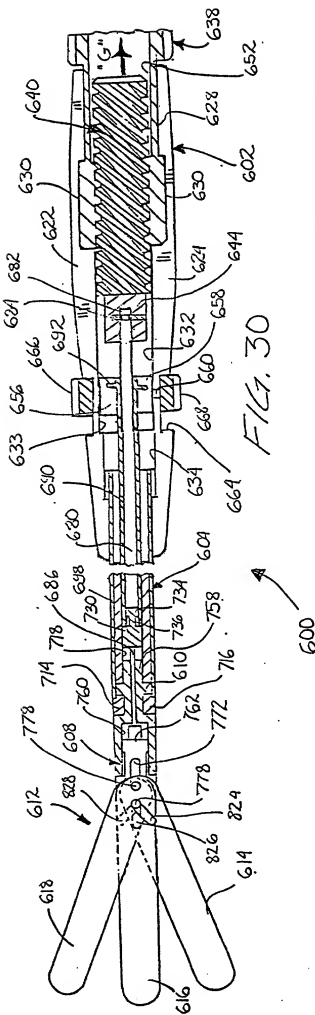
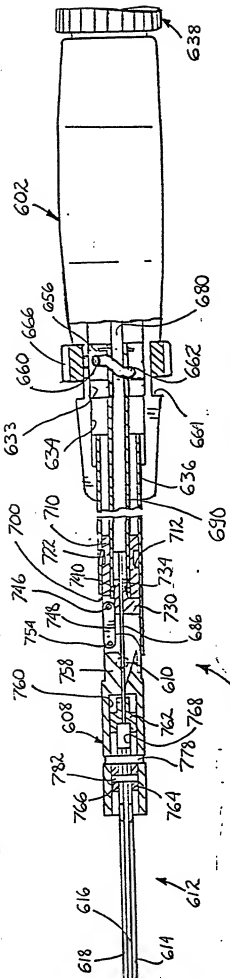
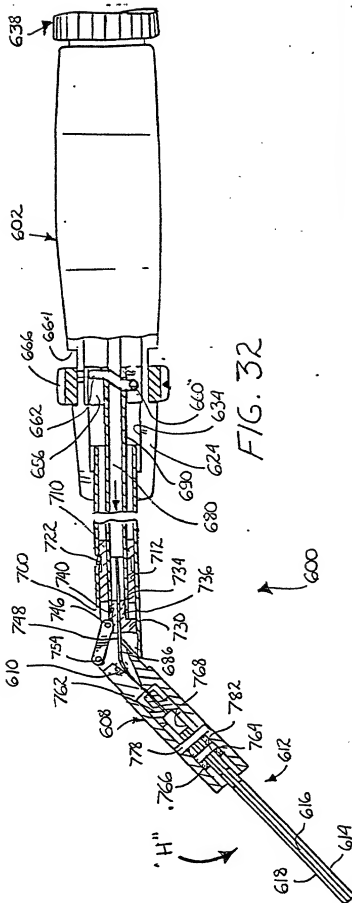


FIG. 30



F/G. 31



F/G. 32

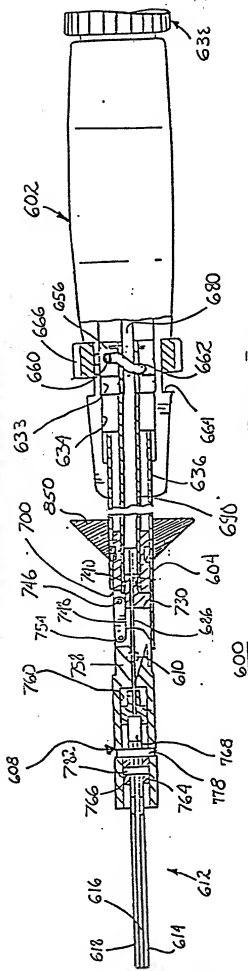
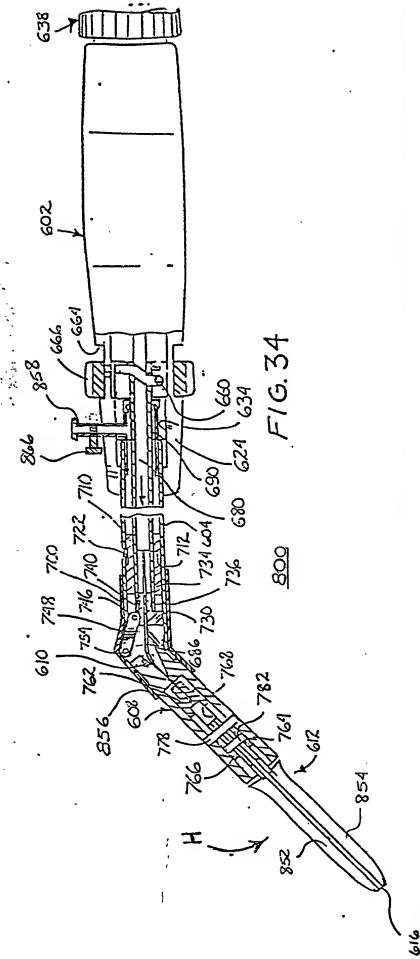
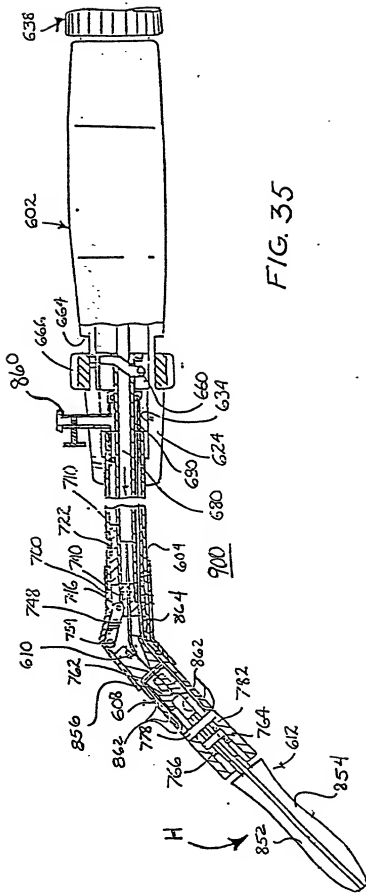


FIG. 33



TOOOTT-ZZ6ZEBD



F/G. 35